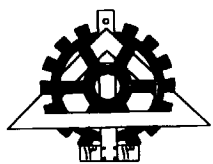




دانشگاه تهران



دانشکده فنی

پایان نامه:

برای دریافت درجه کارشناسی ارشد

رشته مهندسی عمران - نقشه برداری

گرایش: ژئودزی

موضوع

بررسی اثر خطای قروپوسفر بر روی تعیین موقعیت نسبی

سیستم تعیین موقعیت ماهواره‌ای GPS

: توسط

سهیل بیرونیان

۵۲۴۶

استاد راهنما: دکتر حسین نهاوندچی

سال ۱۳۷۸

۲۷۹۴۳

## موضوع

# بررسی اثر خطای تروپوسفر بر روی تعیین موقعیت نسبی سیستم تعیین موقعیت ماهواره‌ای GPS

توسط :

سهیل بیرونیان

پایان نامه

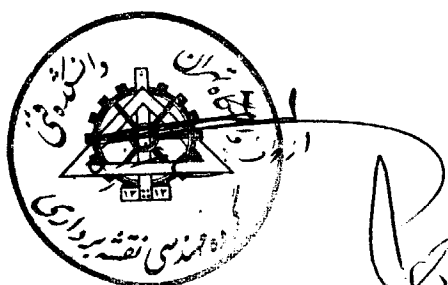
برای دریافت درجه کارشناسی ارشد

رشته مهندسی عمران - نقشه برداری

گرایش : ژئودزی

از این پایان نامه در تاریخ ۱۳۷۸/۶/۲۷ در مقابل هیئت

داوران دفاع بعمل آمده و مورد تصویب قرار گرفت



مدیر گروه آموزشی : مهندس صمدزادگان

استاد راهنما : دکتر نهاوندچی

سرپرست تحصیلات تکمیلی گروه : دکتر دلاور

اعضاء هیئت داوران : دکتر نجفی علمداری

مهندس شریفی

مهندس ملک

۱۳۷۸/۶/۲۷

۴۷۶۴۴

بِسْمِ اللّٰهِ الرَّحْمٰنِ الرَّحِيْمِ

سپاس و ستایش مر خدای را جل و جلاله که آثار قدرت او بر چهره روز روشن تابان است و  
انوار حکمت او در دل شب تار درخشنان. درود و سلام و تحيات و صلوات ایزدی بر ذات معظم و  
روح مقدس مصطفی (ص) و اهل بیت و اصحاب و اتباع و یاران و اشیاع او باد درودی که امداد  
آن بر امتداد روزگار متصل باشد و نسیم آن گرد از کلبه عطار برآرد.

"کلیله و دمنه ابوالمعالی"

## چکیده

خطایی که دانشمندان و محققین علوم ژئودتیک از آن بعنوان یکی از بزرگترین منابع خطای در مشاهدات

GPS(Global Positioning System) و همچنین VLBI(Very Long Baseline Interferometry) یاد

می کنند، اثر بخشی از اتمسفر است که آن را اتمسفر ختنی می نامیم. این بخش از اتمسفر شامل لایه تروپوسفر و استراتوسفر می باشد که از سطح زمین تا ارتفاع حدوداً ۶۰ کیلومتری را شامل می شود. اکثراً از این خطای بعنوان خطای تروپوسفر نام می برند. اثر این لایه بر روی امواجی که فرکانس آنها زیر ۱۵ GHz می باشد یکسان است. یعنی در استفاده از GPS تاثیر این لایه بستگی به فرکانس امواج مورد استفاده ندارد. لذا روش هایی که برای حذف خطای یونوسفر مورد استفاده قرار می گیرد را نمی توان برای از بین بردن خطای تروپوسفر بکار برد. تروپوسفر دارای بیشترین اثر بر روی مولفه ارتفاعی می باشد. لازم به ذکر است که اگر طول باز کوتاه ولی اختلاف ارتفاع بین دو ایستگاه زیاد باشد، اثر تروپوسفر در روش تفاضلی از بین نمی رود.

در این پایان نامه اثر این خطای را در طول بازهای بلند بررسی می کنیم. این طول باز ها مربوط به پروژه آسیا و اقیانوسیه است که مشاهدات آن در اکتبر سال ۱۹۹۷ بر روی ۶ ایستگاه انجام شد. این مشاهدات بصورت شبانه روزی و بعدت ده روز توسط سازمان نقشه برداری کشور انجام گرفت.

در بررسی اثر تروپوسفر آن را به دو بخش تقسیم می کنند: تروپوسفر تر و تروپوسفر خشک. بخش خشک ۹۰٪ تروپوسفر را تشکیل می دهد. در این پروژه برای مدل کردن این بخش، از مدل های تروپوسفر استاندارد، بهبود یافته Hopfield و Saastamoinen استفاده شده است. مقایسه این روش با

حالی که از هیچ مدل استفاده نشود، بطور متوسط نشان دهنده اختلافی باندازه ۱۳۰ و ۹۴۰ متر در مولفه ارتفاعی دو ایستگاه گیرنده GPS، Maryam و Roze می باشد. اگرچه تروپوسفر تر تنها ۱۰٪ کل اثر را شامل می شود اما مهمترین بخش را تشکیل می دهد زیرا نمی توان اثر آنرا با مدل های موجود از بین بردا. در این پایان نامه اثر تروپوسفر تر با استفاده از اضافه کردن یک پارامتر ثابت در مدل تفاضلی مرتبه دو کاهش داده شده است. این متده باعث کاهش RMS وزن دار نسبت به حالت های قبل می شود. این کاهش در مولفه ارتفاعی ایستگاه های Maryam و Roze بترتیب ۷۶/۹۷٪ و ۵۲/۴۹٪ برآورد شد. این مقدار ثابت با استفاده از پارامتر های پردازش تصادفی مانند تابع ساختار بدست آمده است. بدین ترتیب که تابع ساختار برای کلیه ایستگاه ها در مدت ۵ روز محاسبه شد و سپس وریانس های نویز پردازش تاخیر تروپوسفر تر از تابع ساختار محاسبه گردید و با قرار دادن آن در مدل Random Walk تاخیر تروپوسفر تر برای فواصل زمانی نیم ساعته بدست آمد.

## تشکر و قدردانی

بدینوسیله از جناب آقای دکتر نهادوندچی استاد راهنمای بزرگوار که در کلیه مراحل انجام این پایان نامه با راهنمایی های ارزشمند خود اینجانب را هدایت و ارشاد نمودند کمال تشکر و قدردانی را دارم. همچنین لازم می دانم از بذل عنایت ایشان در فرستادن مقالات متعدد در زمانی که در کشور سوئیس بودند تشکر نمایم.

از مسئولین محترم گروه نقشه برداری دانشکده فنی دانشگاه تهران خصوصاً جناب آقای دکتر دلاور مسئول تحصیلات تکمیلی گروه جهت همکاری نزدیک با دانشجویان صمیمانه قدردانی می نمایم.

از جناب آقای دکتر T.R.Emardson محقق مرکز مشاهدات فضایی Onsala در سوئیس که با ارسال پایان نامه دوره دکتری خود در زمینه تروپوسفر اینجانب را در تجزیه و تحلیل این موضوع یاری نمودند سپاسگزاری می نمایم.

لازم می دانم از مسئولین طرح کاداستر کشور مخصوصاً مدیریت محترم نقشه برداری و ژئودزی ماهواره ای آقای مهندس برنجکار بخاطر در اختیار قرار دادن امکانات و ایجاد شرایط مناسب جهت انجام این پایان نامه تشکر نمایم.

مراتب امتنان خود را از مسئولین بخش زمینی سازمان نقشه برداری کشور، آقای مهندس توکلی و آقای مهندس نانکلی جهت در اختیار قرار دادن مشاهدات GPS پروژه آسیا-اقیانوسیه سال ۱۹۹۷ که در این پایان نامه مورد استفاده قرار گرفت اعلام می نمایم.

از همکاران محترم و دوستان ارجمند در بخش آموزش و تحقیقات طرح کاداستر کشور خصوصاً جناب آقای مهندس جمال عسگری که در برنامه نویسی با نرم افزار Matlab اینجانب را یاری نمودند و آقای مهندس شامانی و آقای مهندس علیمردانی برای در اختیار قرار دادن مطالبی در مورد GPS تشکر و قدردانی می نمایم.

پیشرفت در زندگی خود را مديون محبتها و راهنمایی های پدر و مادرم می دانم، از آنها و برادران و خواهرم تشکر می نمایم.

## فهرست

فصل یک : مقدمه ..... ۱	فصل یک : مقدمه ..... ۱
فصل دو : سیستم تعیین موقعیت جهانی GPS ..... ۴	فصل دو : سیستم تعیین موقعیت جهانی GPS ..... ۴
۲-۱) مقدمه ..... ۴	۲-۱) مقدمه ..... ۴
۲-۲) مشاهدات و ساختار سیگنال ..... ۶	۲-۲) مشاهدات و ساختار سیگنال ..... ۶
۲-۳) محدودیت هایی برای دقت ..... ۱۰	۲-۳) محدودیت هایی برای دقت ..... ۱۰
۴-۱) گیرنده های GPS ..... ۱۰	۴-۱) گیرنده های GPS ..... ۱۰
۴-۲) گیرنده های وابسته به کد ..... ۱۱	۴-۲) گیرنده های وابسته به کد ..... ۱۱
۴-۳) گیرنده های مستقل از کد ..... ۱۲	۴-۳) گیرنده های مستقل از کد ..... ۱۲
۲-۵) ترکیبات خطی و مشاهدات حاصله ..... ۱۳	۲-۵) ترکیبات خطی و مشاهدات حاصله ..... ۱۳
۲-۵-۱) تفاضل مرتبه اول در مشاهدات فاز حامل و کد ..... ۱۴	۲-۵-۱) تفاضل مرتبه اول در مشاهدات فاز حامل و کد ..... ۱۴
۲-۵-۲) تفاضل مرتبه دوم ..... ۱۷	۲-۵-۲) تفاضل مرتبه دوم ..... ۱۷
فصل سه : خطاهای و تصحیحات GPS ..... ۱۸	فصل سه : خطاهای و تصحیحات GPS ..... ۱۸
۳-۱) مقدمه ..... ۱۸	۳-۱) مقدمه ..... ۱۸
۳-۲) خطای مدار ماهواره ..... ۱۹	۳-۲) خطای مدار ماهواره ..... ۱۹
۳-۳) خطای چند مسیره شدن (Multi Path) ..... ۲۱	۳-۳) خطای چند مسیره شدن (Multi Path) ..... ۲۱
۳-۴) خطای مرکز فاز آتن ..... ۲۲	۳-۴) خطای مرکز فاز آتن ..... ۲۲
۳-۵) تصحیح دوران زمین ..... ۲۳	۳-۵) تصحیح دوران زمین ..... ۲۳
فصل چهار: اثرات اتمسفر بر روی مشاهدات GPS ..... ۲۴	فصل چهار: اثرات اتمسفر بر روی مشاهدات GPS ..... ۲۴
۴-۱) مقدمه ..... ۲۴	۴-۱) مقدمه ..... ۲۴
۴-۲) انکسار یونوسفریک ..... ۲۶	۴-۲) انکسار یونوسفریک ..... ۲۶
۴-۲-۱) حذف اثر TEC ..... ۳۰	۴-۲-۱) حذف اثر TEC ..... ۳۰
۴-۳) انکسار تروپوسفریک ..... ۳۳	۴-۳) انکسار تروپوسفریک ..... ۳۳
۴-۳-۱) تغییرات تاخیر تروپوسفریک در مولقه مکانی (گرادیان افقی) ..... ۳۶	۴-۳-۱) تغییرات تاخیر تروپوسفریک در مولقه مکانی (گرادیان افقی) ..... ۳۶
۴-۳-۲) روش های مستقل بدست آوردن تاخیر زنیتی تر ..... ۳۷	۴-۳-۲) روش های مستقل بدست آوردن تاخیر زنیتی تر ..... ۳۷
۴-۳-۲-۱) رادیومتری با استفاده از امواج میکرومیتو ..... ۳۷	۴-۳-۲-۱) رادیومتری با استفاده از امواج میکرومیتو ..... ۳۷
۴-۳-۲-۲) رادیو سوند ها ..... ۳۸	۴-۳-۲-۲) رادیو سوند ها ..... ۳۸
فصل پنجم: مدل های هواشناسی ..... ۴۰	فصل پنجم: مدل های هواشناسی ..... ۴۰

۴۰.....	۵-۱) مقدمه
۴۲.....	۵-۲) توابع تصویر
۴۲.....	۵-۲-۱) توابع تصویر از نوع کسر های پیوسته Marrini
۴۴.....	۵-۳) مدل Hopfield
۴۷.....	۵-۴) مدل های بهبود یافته Hopfield
۴۹.....	۵-۵) مدل Saastamoinen
۵۱.....	۵-۵-۱) خطاهای مدل Saastamoinen
۵۲.....	۵-۶) مدل تاخیر زنیتی تر Chao
۵۳.....	۵-۷) مدل (Berman 1970) برای تاخیر زنیتی تر
۵۴.....	۵-۸) مدل های اتمسفر استاندارد
۵۵.....	فصل شش: برآورد تاخیر تروپوسفر از روش پردازش تصادفی
۵۵.....	۶-۱) مقدمه
۵۶.....	۶-۲) تئوری پردازش های تصادفی
۵۷.....	۶-۲-۱) توصیف پردازش تصادفی
۵۸.....	۶-۳) بدست آوردن تاخیر زنیتی با استفاده از مدل گوس-مارکوف
۶۱.....	۶-۴) مدل پردازش تصادفی Random walk
۶۱.....	۶-۵) تابع ساختار یا Structure Function
۶۲.....	۶-۶) روش کمترین مربعات
۶۲.....	۶-۷) برآورد پارامتر ثابت
۶۴.....	۶-۸) برآورد تاخیر تروپوسفریک از روش Deterministic
۶۶.....	۶-۹) برآورد پارامترهای گرادیان از GPS
۶۷.....	فصل هفت: بررسی اثر تروپوسفر در پروژه آسیا-اقیانوسیه ۱۹۹۷
۶۷.....	۷-۱) مقدمه
۷۸.....	۷-۲) مراحل کار پروژه
۷۹.....	۷-۳) نتایج
۱۰۰.....	فصل هشت: نتیجه گیری و پیشنهادات
۱۰۰.....	۸-۱) نتیجه گیری
۱۰۷.....	۸-۲) پیشنهادات
۱۰۹.....	مراجع

## فهرست شکل ها

شکل (۲-۱): تفاصل بین گیرنده ها و ماهواره ها ..... ۱۵.....
شکل (۴-۱): هندسه تاخیر مسیر یونوسفر ..... ۲۹.....
شکل (۴-۲) هندسه انتشار سیگنال GPS در اتمسفر ..... ۳۳.....
شکل (۴-۳) نمونه پروفیل ارتفاعی از ضرب انکسار $N_d$ , $N_w$ ..... ۳۵.....
شکل (۴-۴) گرادیان در ضرب شکست تروپوسفر تر ..... ۳۶.....
شکل (۵-۱) هندسه تاخیر مسیر تروپوسفر ..... ۴۷.....
شکل (۶-۱) برآورد پارامتر ها از طریق Deterministic ..... ۶۴.....
شکل (۷-۱) شبکه آسیا-اقیانوسیه در ایران ..... ۷۲.....
شکل (۷-۲) تغییرات تروپوسفر و اثر آن بر سه مولفه شمال(a)، شرق(c) و ارتفاع(e) برای ایستگاه Ladan در روز اول اکتبر ۱۹۹۷ . در زیر هر کدام تابع PSD برای این مشاهدات آورده شده است ..... ۷۳.....
شکل (۷-۳) تغییرات تروپوسفر و اثر آن بر سه مولفه شمال(a)، شرق(c) و ارتفاع(e) برای ایستگاه Ladan در روز دوم اکتبر ۱۹۹۷ . در زیر هر کدام تابع PSD برای این مشاهدات آورده شده است ..... ۷۴.....
شکل (۷-۴) تغییرات تروپوسفر و اثر آن بر سه مولفه شمال(a)، شرق(c) و ارتفاع(e) برای ایستگاه Ladan در روز سوم اکتبر ۱۹۹۷ . در زیر هر کدام تابع PSD برای این مشاهدات آورده شده است ..... ۷۵.....
شکل (۷-۵) تغییرات تروپوسفر و اثر آن بر سه مولفه شمال(a)، شرق(c) و ارتفاع(e) برای ایستگاه Ladan در روز چهارم اکتبر ۱۹۹۷ . در زیر هر کدام تابع PSD برای این مشاهدات آورده شده است ..... ۷۶.....
شکل (۷-۶) تغییرات تروپوسفر و اثر آن بر سه مولفه شمال(a)، شرق(c) و ارتفاع(e) برای ایستگاه Ladan در روز پنجم اکتبر ۱۹۹۷ . در زیر هر کدام تابع PSD برای این مشاهدات آورده شده است ..... ۷۷.....
شکل (۷-۷) اثر تروپوسفر خشک بر روی مولفه شمال (Northing) در روابط تفاضلی مرتبه دو در طول ۲۴ ساعت در ایستگاه Roze ..... ۷۸.....

شکل(۷-۸) اثر تروپوسفر خشک بر روی مولفه شرق(Easting) در روابط تفاضلی مرتبه دو در طول ۲۴ ساعت در ایستگاه Roze	۷۸
شکل(۷-۹) اثر تروپوسفر خشک بر روی مولفه ارتفاع(Height) در روابط تفاضلی مرتبه دو در طول ۲۴ ساعت در ایستگاه Roze	۷۹
شکل(۷-۱۰) اثر تروپوسفر خشک بر روی مولفه شمال(Northing) در روابط تفاضلی مرتبه دو در طول ۱۲ ساعت در ایستگاه Maryam	۸۰
شکل(۷-۱۱) اثر تروپوسفر خشک بر روی مولفه شرق (Easting) در روابط تفاضلی مرتبه دو در طول ۱۲ ساعت برای ایستگاه Maryam	۸۰
شکل(۷-۱۲) اثر تروپوسفر خشک بر روی مولفه ارتفاع (Height) در روابط تفاضلی مرتبه دو در طول ۱۲ ساعت برای ایستگاه Maryam	۸۱
شکل(۷-۱۳) اختلاف از میانگین در مولفه Northing ایستگاه Roze	۸۴
شکل(۷-۱۴) اختلاف از میانگین در مولفه Easting ایستگاه Roze	۸۴
شکل(۷-۱۵) اختلاف از میانگین در مولفه Height ایستگاه Roze	۸۵
شکل(۷-۱۶) اختلاف از میانگین در مولفه Northing ایستگاه Maryam	۸۵
شکل(۷-۱۷) اختلاف از میانگین در مولفه Easting ایستگاه Maryam	۸۶
شکل(۷-۱۸) اختلاف از میانگین در مولفه Height ایستگاه Maryam	۸۶
شکل(۷-۱۹) (a) مقایسه RMS وزن دار در مولفه شمالی (b) مولفه شرقی (c) مولفه ارتفاعی. ستون (۱) بدون استفاده از مدل و ستون (۲) با استفاده از مدل بهبود یافته Hopfeild است. این اشکال مربوط به ایستگاه Roze می باشد	۹۱
شکل(۷-۲۰) مقایسه RMS وزن دار در (a) مولفه شمالی (b) مولفه شرقی (c) مولفه ارتفاعی. ستون (۱) بدون استفاده از مدل و ستون (۲) با استفاده از مدل بهبود یافته Saastamoinen است. این اشکال مربوط به ایستگاه Maryam می باشد	۹۲
شکل (۷-۲۱) منحنیتابع ساختار برای ایستگاه Ladan در پنج روز مشاهده GPS	۹۵
شکل (۷-۲۲) منحنیتابع ساختار برای ایستگاه Maryam در پنج روز مشاهده GPS	۹۶
شکل (۷-۲۳) منحنیتابع ساختار برای ایستگاه Reihan در پنج روز مشاهده GPS	۹۷
شکل (۷-۲۴) منحنیتابع ساختار برای ایستگاه Roze در پنج روز مشاهده GPS	۹۸
شکل (۷-۲۵) منحنیتابع ساختار برای ایستگاه Yas در پنج روز مشاهده GPS	۹۹
شکل(۷-۲۶) مقایسه RMS وزن دار بین دو روش استفاده از (مدل) و (مدل + پارامتر ثابت) که به ترتیب با ستون های (۱) و (۲) مشخص شده است. شکل (a)، (b) و (c) بترتیب مربوط به مولفه های شمال، شرق و ارتفاع در ایستگاه Roze می باشد	۱۰۲

شکل (۷-۲۷) مقایسه RMS وزن دار بین دو روش استفاده از (مدل)  
و (مدل + پارامتر ثابت) که به ترتیب با ستون های (۱) و (۲) مشخص  
شده است. شکل (a)، (b) و (c) بترتیب مربوط به مولفه های شمال،  
شرق و ارتفاع در ایستگاه Maryam می باشد.

۱۰۳.....

## فهرست چدول ها

جدول (۱-۲) مشخصات فرکانس های موج حامل و کد ..... ۹
جدول (۳-۱) : میانگین توزیع خطاهای GPS بر روی کد ..... ۱۹
جدول (۳-۲) : خطای مداری قابل قبول برای دقت ۱cm ..... ۲۰
جدول (۳-۳) : ارتباط دقت نسبی و خطای مدار ..... ۲۱
جدول (۴-۱) مقادیر ضرایبی که در معادله (۴-۶۴) مورد استفاده قرار می گیرد ..... ۳۹
جدول (۵-۱) مقادیر استاندارد برای ترم تصحیحی B ..... ۵۰
جدول (۷-۱) مختصات ایستگاه های پروژه آسیا-اقیانوسیه به همراه دقتها مربوطه در سیستم WGS84 ..... ۷۸
جدول (۷-۲) اثر استفاده از مدل بهبود یافته Hopfield و عدم استفاده از آن، در پردازش طول باز Nيلوفر-رز بر روی مختصات ایستگاه Roze در روز اول اکتبر ۱۹۹۷ ..... ۸۲
جدول (۷-۳) اثر استفاده از مدل Saastamoinen و عدم استفاده از آن، در پردازش طول باز Nilofar-Maryam بر روی مختصات ایستگاه Maryam در روز اول اکتبر ۱۹۹۷ ..... ۸۳
جدول (۷-۴) اختلاف از میانگین برای سه مولفه شمال، شرق و ارتفاع ایستگاه Roze در روز اول اکتبر ۱۹۹۷. این اعداد مربوط به حالتی است که از مدل بهبود یافته Hopfeild در پردازش استفاده شده است ..... ۸۷
جدول (۷-۵) اختلاف از میانگین برای سه مولفه شمال، شرق و ارتفاع ایستگاه Roze در روز اول اکتبر ۱۹۹۷. این اعداد مربوط به حالتی است که از هیچ مدلی در پردازش استفاده نشده است ..... ۸۸
جدول (۷-۶) اختلاف از میانگین برای سه مولفه شمال، شرق و ارتفاع ایستگاه Maaryam در روز اول اکتبر ۱۹۹۷. این اعداد مربوط به حالتی است که از هیچ مدلی استفاده نشد ..... ۸۹
جدول (۷-۷) اختلاف از میانگین برای سه مولفه شمال، شرق و ارتفاع ایستگاه Maryam در روز اول اکتبر ۱۹۹۷ ، این اعداد مربوط به حالتی است که از مدل Saastamoinen در پردازش استفاده شده است ..... ۹۰

جدول (۷-۸) مقدار $\alpha$ به درصد برای ۴۸ فاصله های زمانی نیم ساعته مربوط به طول باز Nilofar-Roze در روز اول اکتبر ۱۹۹۷ ..... ۱۰۰
جدول (۷-۹) مقدار $\alpha$ به درصد برای ۲۴ فاصله های زمانی نیم ساعته مربوط به طول باز Nilofar-Maryam در روز اول اکتبر ۱۹۹۷ ..... ۱۰۱
جدول (۷-۱۰) مشخصات RMS وزن دار مربوط به ایستگاه Maryam ..... ۱۰۴
جدول (۷-۱۱) مشخصات RMS وزن دار مربوط به ایستگاه Roze ..... ۱۰۴

## فصل یک

### مقدمه

GPS یکی از تکنیک های دقیق تعیین موقعیت مطلق و نسبی در طول بازهای کوتاه محسوب می شود. در طول بازهای کوتاه می توان اثر خطای یونوسفر و تروپوسفر را بر روی نتایج حاصله ناچیز فرض کرد. زیرا امواج ارسالی ماهواره از محیط تقریباً یکسانی عبور می کند و این اثرات در روش های تفاضلی از بین می روند. اما در صورتی که اختلاف ارتفاع بین دو ایستگاه زیاد باشد، اثر تروپوسفر در روش تفاضلی از بین نمی رود. یکی از موارد دیگر که خطای تروپوسفر در آن نقش مهمی دارد اندازه گیری طول باز های بلند میباشد. امروزه در بسیاری از مطالعات ژئودتیکی و ژئودینامیکی ما نند تعریف بیضوی مرجع، جابجایی صفحات تشکیل دهنده پوسته زمین و... نیازمند به اندازه گیری طول باز های بلند حتی تا مرز چندین هزار کیلومتر هستیم. جهت اندازه گیری این طول باز ها نیز بیشتر از سیستم های تعیین موقعیت فضایی (VLBI) و (SLR) استفاده می شود. برای برآورد دقت این اندازه گیری ها شناخت عوامل موثر در ایجاد خطأ و همچنین تاثیر هر کدام از این خطأ ها بر روی اندازه گیری ها لازم می باشد. روش های کاهش اثرات این خطأ ها بر روی نتایج نیز بسیار با اهمیت هستند. بعنوان مثال برای از بین بردن خطای یونوسفر با توجه به اینکه این لایه اتمسفری اثرات متفاوتی بر روی امواج با فرکانس مختلف ایجاد می کند، استفاده از ترکیب فرکانس ها و انتخاب فرکانس عاری از خطای یونوسفر لازم به نظر می رسد.

اثر خطای تروپوسفر بر روی مشاهدات VLBI، GPS و SLR یکی از گسترده‌ترین مباحث ژئودزی فضایی محسوب می‌شود که عناوین بسیاری از مقالات و پایان نامه‌ها را در دانشگاه‌های معتبر به خود اختصاص داده است و تحقیقات وسیعی در این زمینه همچنان انجام می‌گیرد. در این پایان نامه نیز سعی شده با توجه به اینکه این موضوع به این شکل، برای اولین بار در کشور مورد تجزیه و تحلیل قرار می‌گیرد به اصول اولیه و پایه آن بیشتر پرداخته شود.

در بررسی اثر تروپوسفر در پروژه‌های بزرگ معمولاً از دستگاه‌های گران قیمت و پیشرفته (WVR) Water Vapor Radiometry که یک نوع رادیومتر می‌باشد استفاده می‌شود. با استفاده از WVR می‌توان مقدار تاخیر تروپوسفریک تر را در راستاهای مختلف بدست آورد. البته امروزه ثابت شده است که با استفاده از خود مشاهدات GPS نیز می‌توان پارامترهای لازم جهت مدله کردن تاخیر زیستی تروپوسفریک تر را بدست آورد. همچنین استفاده از نرم افزارهای حرفه‌ای که بتوان با آن روش‌های مختلف مدله کردن خطای تروپوسفر را انجام داد ضروری است. در این پایان نامه از نرم افزار GeoGenius برای پردازش مشاهدات و همچنین اعمال ثابت تروپوسفر در مدل تفاضلی استفاده شد. البته در مواردی مانند بدست آوردن پارامترهای مدل Random Walk و برآورد تاخیر تروپوسفریک زیستی تر با استفاده از این مدل یا در موارد دیگری مانند محاسبه تابع ساختار و نویز پردازش، از برنامه نویسی در محیط MatLab سود برده شد.

مباحثی که در این پایان نامه به بررسی آن پرداختیم شامل موارد زیر می‌باشد:

فصل دوم اختصاص به GPS دارد و در آن درباره مشاهدات و ساختار سیگنال و همچنین محدودیت‌های که در سیستم GPS برای رسیدن به دقیقیت مناسب وجود دارد مطالعی بیان شده است. در انتها نیز درباره انواع گیرنده‌ها بحث می‌شود.

در فصل سوم به خطاهای مهم سیستم GPS اشاره می‌شود. از جمله این خطاهای خطای چند مسیری (Multi Path)، خطاهای سیستم گیرنده و خطای مداری است.